

流出系のエントロピー・モデルに関する2, 3の考察

京都大学工学部 正員 高神琢馬
 京都大学防災研究所 正員 池淵周一
 信州大学工学部 正員 粟川典昭

1. 緒言 本研究は長期流出現象が時間的・量的に不確定な運動機構であることに着目し、流出系に「エントロピー最大仮説」を置き得ることを利用して、さらに、その思想を発展させ、流出系に「獲得情報量最大仮説」を置くことにより、流出機構の内部構造にまで立ち入って、流出状態間の遷移構造を確率的に表現しよとあるものである。

2. 野留状態の遷移 時間tにおける有期降雨、流出量、流出系の内部状態(具体的には流域の野留状態)を R_t, Q_t, S_t とすると、降雨・流出変換過程は(21)式のように表記される。(21)式の左の式は(22)式に示されるように、連続式から評価することができるから、右側の(21)式の右の式の状態遷移である。

$$Q_t = f(R_t, S_t), S_{t+1} = g(R_t, S_t) \dots (21), \quad Q_t = S_t + R_t - S_{t+1} \dots (22)$$

ここに、 $f(), g()$; 任意函数。本研究では、この状態遷移を評価するため、流出系にエントロピー最大仮説、及び獲得情報量最大仮説を置くものである。

3. エントロピー最大仮説に基づく状態遷移確率法 長期流出系にエントロピー最大仮説を置き得ること従来からの研究からも明らかにされており、水文現象のエントロピー的解釈からも、その有ることが妥当であろうと思われる。従って、(31)式で表示される単位特性値面内でのエントロピーを最大にする状態遷移を(32)式から(35)式の制約条件の下で求めると(36)式で得られ、この式に含まれる U_j は(37)式から評価される。

$$H = \frac{-\sum_{i,j} P_i \cdot Q_{ij} \cdot P_{ij} \cdot \log P_{ij}}{\sum_{i,j} P_i \cdot Q_{ij} \cdot P_{ij} \cdot t_{ij}} \dots (3.1), \quad \sum_i P_i \cdot Q_{ij} \cdot P_{ij} = P_j \dots (3.2), \quad \sum_i P_i = 1 \text{ or } \sum_j P_j = 1 \dots (3.3), \quad \sum_j Q_{ij} = 1 \dots (3.4)$$

$$\sum_j P_{ij} = 1 \dots (3.5), \quad P_{ij} = \frac{U_j \cdot \exp(-C \cdot t_{ij})}{\sum_j U_j \cdot \exp(-C \cdot t_{ij})} \dots (3.6), \quad U_j \sum_{i=1}^n \left\{ \frac{P_i \cdot Q_{ij} \cdot \exp(-C \cdot t_{ij})}{\sum_j U_j \cdot \exp(-C \cdot t_{ij})} \right\} = P_j \dots (3.7)$$

ここで、 $C = \max H$, t_{ij} : 特性値, $P_i: S_t=i$ の状態確率, $Q_{ij}: R_t=j$ の降雨確率, $P_{ij}: S_t=i, R_t=j$ の条件の下で $S_{t+1}=j$ なる遷移確率。なお、式の1977シオンにおいて、 P_i, Q_{ij}, P_{ij} は未知変数としているが、具体的に P_{ij} を計算することは、 P_i, Q_{ij} は P_{ij} よりも高い精度で資料より求められる既知量として与えることは可能である。このようにして、上記の問題の解くことが可能であるが、いくつかの問題点を有しているため、次に近似解法を提案する。これは(35)式を(38)式を(39)式で代用しよとあるものであり、(31)式を満足する最大の正の実数 W を求め、これを(31)式に代入して P_i を評価すること近似解、遷移確率 P_{ij} は(310)式より与えられる。

$$\sum_i P_i \cdot Q_{ij} \cdot P_{ij} = Q_{ij} \dots (3.8), \quad \sum_i P_i \cdot Q_{ij} \cdot P_{ij} = P_i \dots (3.9), \quad P_{ij} = \frac{Q_{ij}}{P_i} W^{-t_{ij}} \dots (3.10)$$

$$\sum_j B_j (Q_j W^{-t_{ij}} - S_{ij}) = 0 \dots (3.11), \quad \left| \sum_j Q_j W^{-t_{ij}} - S_{ij} \right| = 0 \dots (3.12) \quad \therefore \tau, \quad W = \log C$$

4. 獲得情報量最大仮説に基づく状態遷移確率法 獲得情報量 $I(x, y)$ は(4.1)式で与えられる。

$$I(x, y) = H(x) + H(y) - H(x, y) = H(x) - H(y|x) - H(y) + H(x, y) \dots (4.1)$$

ここで、 $H(x)$, $H(y)$ はエントロピー、 $H(x, y)$ は条件付エントロピー、 $H(x, y)$ は相互エントロピーである。貯留状態の遷移に関して、確率構造の定常化がはかられていなくてはならず、単位特性値 l_{ij} の獲得情報量 I は(4.2)式のように書かれる。流出系に獲得情報量最大仮説を置くことは妥当である¹⁾から、(3.2)式から(3.5)式を制約条件として、(4.2)式を最大にする遷移確率を求めると(4.3)式となり、 W は(4.4)式から決定される。

$$I' = \frac{-\sum_j P_j \log P_j + \sum_{ij} P_i \cdot Q_j \cdot P_{ij} \cdot \log P_{ij}}{\sum_{ij} P_i \cdot Q_j \cdot P_{ij} \cdot l_{ij}} \dots (4.2), \quad P_{ij} = \frac{W_j \cdot \exp(C \cdot l_{ij})}{\sum_j W_j \cdot \exp(C \cdot l_{ij})} \dots (4.3), \quad W_j = \frac{P_j \cdot Q_j \cdot \exp(C \cdot l_{ij})}{\sum_j P_j \cdot Q_j \cdot \exp(C \cdot l_{ij})} - P_j \dots (4.4)$$

ここで、 $C = \max I'$ 、 l_{ij} : 特性値。前述と同様の理由で次に近似解を提案する。一つ目の近似解はすでに提案している¹⁾から、ここではさらに精度を高めるために、 S_3 と同じ制約条件を用いた二つ目の近似解を求める(4.5)式となる。この式に含まれる P_i は(4.4)式から、 W は(4.3)式の最大正の実根として決定される。

$$P_{ij} = \frac{P_j \cdot \exp(C \cdot l_{ij})}{\sum_j P_j \cdot \exp(C \cdot l_{ij})} \dots (4.5), \quad \sum_{ij} B_j \{ P_i \cdot Q_j \cdot W^{l_{ij}} - S_{ij} \} = 0 \dots (4.6), \quad \left| \sum_j P_j \cdot Q_j \cdot W^{l_{ij}} - S_{ij} \right| = 0 \dots (4.7)$$

5. 実流域への適用を考察 Fig. 1 は(2.2)式から、無降雨期間を取り出し、流量の自然逓減曲線と同様の方法により

得られた貯留量の自然逓減曲線の概略図である。この曲線を使って、特性値 t_{ij} を事前の貯留状態 i となる降雨が作用して起こる貯留状態 j になったとき、 j という貯留状態に遷移するのに要する時間

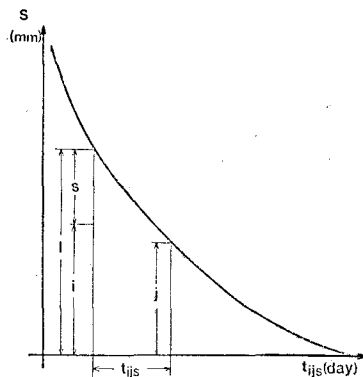


Fig. 1 t_{ij} の評価のための貯留量の自然逓減曲線の概略図

と定義する。次に l_{ij} は、この t_{ij} に反比例する²⁾と考えられるから $l_{ij} = 10/t_{ij}$ を採用する。これらの特性値を使って、由良川流域荒倉地点で、 P_{ij} を評価したものが Table 1 である。この表で Case 1 は従来の研究に基づいた P_{ij} ²⁾、Case 2 は S_3 、Case 3 の S_4 の近似解である。これらと比較すると、 E_i の小さい i については Case 3 の実測値よりもよく説明し、Case 2 はそれと続くものであることがわかる。

6. 結語 本研究により、流出系にエントロピー最大仮説を置く得ることを再認識できるように獲得情報量最大仮説を置く得ることを明らかにした。これらの仮説を用いて、より精度の高い長期流出モデルが作成される。

参考文献 1) 高橋地測実測: 長期流出のエントロピーモデル, 335 号年講, 2) 高橋地測: 不確実現象のエントロピー的解釈, 工学記, 1978.5